

OUTIL D’AIDE A LA GESTION DE CRISE POUR LA MISSION RDI33 : ATLAS DE SCENARIOS DE SUBMERSION SUR LE BASSIN D’ARCACHON

*Maps of potential coastal flood zones on the Arcachon lagoon for crisis
management support*

Auteurs : LECACHEUX Sophie^{1*}, FILIPPINI Andrea G.¹, PEDREROS Rodrigo¹, ROHMER
Jeremy¹, ARPAIA Luca¹, LOUISOR Jessie¹, NICOLAE LERMA Alexandre¹, IDIER
Déborah¹, QUIQUE Robin¹, PARADIS Denis^{2*}, ROSE Françoise^{3*}

¹ BRGM, Europarc, 24 Av. Léonard de Vinci, 33600 Pessac, s.lecacheux@brgm.fr

² Météo-France, DIROP/MAR/DAS, Toulouse, denis.paradis@meteo.fr

³ DDTM Gironde, Cité Administrative de Bordeaux, francoise.rose@gironde.gouv.fr

Résumé : Cette communication présente l’outil d’aide à la décision développé par le BRGM sur le Bassin d’Arcachon pour la mission RDI 33. Il s’agit d’un atlas cartographique de scénarios de submersion marine sur les 10 communes littorales du bassin pour un ensemble de conditions météo-marines fictives mais réalistes. Les scénarios, construits à l’aide d’une analyse statistique des conditions de forçage (vent, vagues, surcote) et la modélisation numérique de la submersion à terre, représentent une large gamme d’évènements, de l’annuel à l’exceptionnel. Grâce à une application numérique dédiée, cet atlas permet au cadre d’astreinte d’interpréter et traduire les prévisions côtières opérationnelles de Météo-France à la bouée Cap-Ferret en zones potentiellement submergées à terre en fonctionnant par analogie avec les scénarios de la base de données. Au delà de l’atlas, la base de donnée produite pour la mission RDI33 sera exploitée dans le cadre du projet ANR ORACLES pour développer des modèles d’intelligence artificielle capables de produire des prévisions d’ensemble en (quasi)temps réel.

Mots-clefs : submersion marine, Bassin d’Arcachon, atlas, aide à la gestion de crise, RDI

Abstract : This communication presents the decision support tool developed by the BRGM on the Arcachon Lagoon for the Departmental Flooding Referent of Gironde (RDI33). It is a cartographic atlas of marine flooding scenarios (on the 10 coastal municipalities of the lagoon) composed of a set of theoretical but realistic weather-sea conditions. The scenarios, built using a statistical analysis of forcing conditions (wind, waves, surge) and numerical modeling of onshore flooding, represent a wide range of events, from annual to exceptional. Thanks to a dedicated digital application, this atlas allows the duty manager of RDI33 to interpret and translate the operational coastal forecasts of Météo-France at the Cap-Ferret buoy into potentially inundated areas on land by operating by analogy with the scenarios of the database. Beyond the atlas, the database produced for the RDI33 will be used as part of the ANR ORACLES project to develop artificial intelligence models capable of producing ensemble forecasts in (near) real time.

Keywords: Marine flooding, Arcachon Lagoon, atlas, decision support

1. Contexte et objectifs

Depuis 2011, les DDTMs sont chargées d’apporter un appui technique aux préfetures sur la préparation et la gestion des crises “inondation” dans le cadre du dispositif ORSEC (en tant que Référent Départemental Inondation ou RDI). Le RDI doit notamment être en mesure d’interpréter les données de prévision de Météo-France et de les traduire en termes de conséquences attendues sur les enjeux territoriaux. Si cette mission concernait initialement les crues, elle a été étendue en 2018 aux submersions marines. Ces dernières années, plusieurs initiatives locales ont émergé pour développer des outils d’aide à la décision spécifiques aux missions RDI littorales ou aux collectivités de l’échelle d’un site, comme sur la grande plage de Biarritz [1] ou d’un département entier comme en Charente-Maritime [2]. Au niveau national, le SCHAPI est chargé d’harmoniser progressivement les pratiques pour le développement des outils d’aide aux missions RDI littorales.

Cette communication présente l’outil développé par le BRGM sur le Bassin d’Arcachon à la demande de la DDTM 33. L’objectif est de constituer un atlas cartographique de zones potentiellement inondables (ZIP) sur les 10 communes du bassin pour un ensemble de conditions météo-marines de conjonctions et d’intensités variables. Cet atlas de plusieurs centaines de scénarios fictifs mais réalistes permettra au cadre d’astreinte d’interpréter et traduire les prévisions côtières opérationnelles de Météo-France (vent, surcote et vagues) à la bouée Cap-Ferret en zones submergées à terre en fonctionnant par analogie. Dans la suite, nous détaillons (1) la construction des scénarios et le contenu de l’atlas (2) la méthode d’utilisation de l’atlas par analogie et l’interface numérique développée pour le cadre d’astreinte (3) les perspectives offertes par l’existence de ce type de base de données pour la préparation à la gestion de crise et la prévision des submersions.

2. Construction de l’atlas

2.1 *Elaboration des scénarios*

Les conditions de tempête sont construites sur la base d’une analyse statistique tri-variée des extrêmes [3] sur les conditions de vent, de vagues et de surcotes au niveau de la bouée Cap-Ferret située à 50 m de fond à face à l’entrée du bassin (cf. figure 1). Cette localisation permet de décrire les conditions de tempête sur un point de référence unique pour tout le bassin, et sur lequel les données de prévision météo-marines de Météo-France sont accessibles. Les données de référence sont extraites sur la période 1979-2009 à partir des bases de données CFSR [4] pour le vent, ANEMOC 3 [5] pour les vagues et MARS30 [6] pour la surcote. Après avoir ajusté des lois de probabilités (dites « marginales ») pour les hauteurs significatives de vagues (Hs), les surcotes de pleine mer (SPM) et l’intensité du vent (U) à l’aide de la loi Pareto Généralisée, les modèles de dépendance (des valeurs extrêmes) sont ajustés selon une approche semi-paramétrique [3] entre Hs et la période pic des vagues (Tp), puis selon les distributions conditionnelles empiriques entre Hs et la direction pic des vagues (Dp) et entre U et la direction du vent (Du). Les simulations par méthode Monte-Carlo (à l’aide des lois marginales et des modèles de dépendance) permettent d’extrapoler un grand nombre de combinaisons extrêmes mais réalistes possédant les mêmes caractéristiques statistiques que les données observées (cf. figure 1). Pour constituer les scénarios de l’atlas, une sélection de 50 conditions de tempêtes modérées à fortes ($H_s > 4\text{m}$) est réalisée via un algorithme de « machine learning non supervisé » [7] visant à sélectionner un nombre limité de combinaisons tout en décrivant la diversité des combinaisons possibles.

Ces 50 conditions de tempête sont croisées à 9 niveaux de marée (plus précisément : des séries temporelles de 12h dont le niveau de pleine-mer au marégraphe d’Eyrac varie de 1 m à 2.6 m NGF par pas de 20 cm) portant le nombre total de scénarios à 450. Chaque scénario est donc décrit par un jeu de 6 paramètres de tempête (U, Du, Hs, Tp, Dp, SPM) associé à un niveau de pleine mer astronomique.

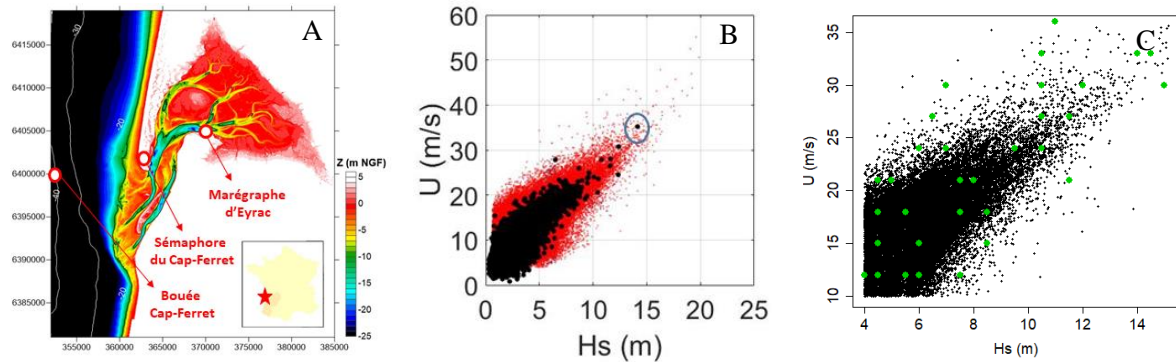


Figure 1 : (A) Bathymétrie et localisation du Bassin d'Arcachon et de la bouée Cap-Ferret (B) Exemple de combinaisons (H_s ; U) observées (points noirs) et simulées (points rouges) par méthode Monte-Carlo à l'aide des lois marginales et des lois de dépendances. (C) Exemple des combinaisons sélectionnées en vert dans l'espace (H_s ; U) pour les scénarios de l'atlas.

2.2 Modélisation de la submersion pour chaque scénario

Le modèle de submersion comprend un chainage des modèles de vague WW3 [8] et d'hydrodynamique UHAINA [9] sur un maillage non structuré allant d'une résolution kilométrique au large à decamétrique à terre. Il permet de simuler la propagation des vagues et des niveaux du large jusqu'à l'intérieur du bassin, la génération du clapot et la bascule du plan d'eau induits par le vent local, le débordement et la propagation de l'eau à terre. Le modèle est validé sur 4 tempêtes historiques : Klaus (2009), Xynthia (2010), Emma (2018) et Justine (2020). Pour ces 4 tempêtes, les forçages sont constitués des séries temporelles d'observation ou de simulation grande échelle des niveaux d'eau et des vagues à la bouée (appliquées sur le bord ouest de la grille) ainsi que de vent au sémaphore (appliqué de manière homogène sur la grille). Les résultats des simulations présentent de faibles erreurs sur les niveaux marins maximums à Eyrac (cf. figure 2) comme pour la tempête Xynthia, où l'erreur est inférieure à 5 cm au pic de marée haute. Les résultats en termes de surfaces inondées sont également très satisfaisants, les limites simulées étant proches des observations de terrain post-tempête aussi bien pour Xynthia que pour Emma [10].

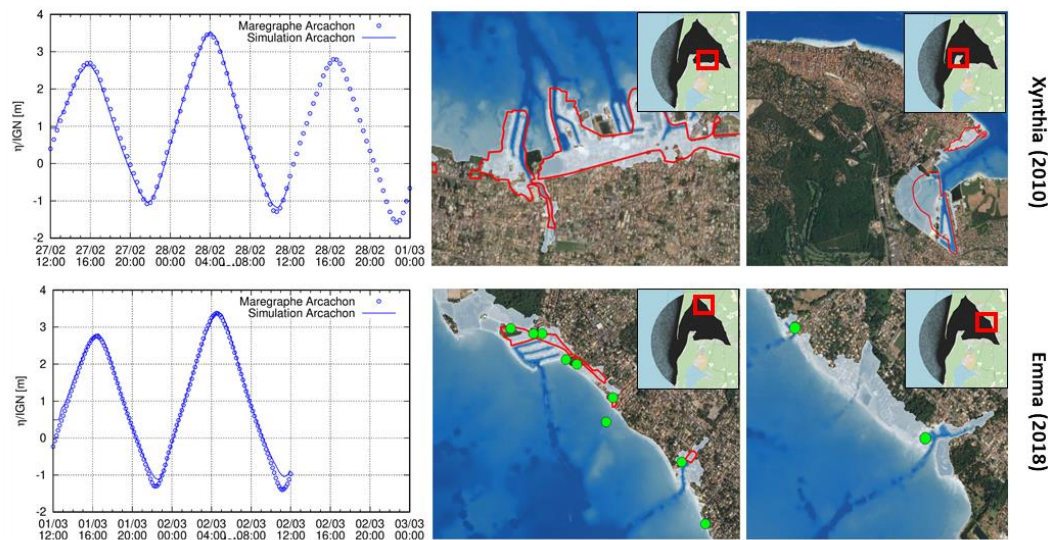


Figure 2 : Validation du modèle sur les tempêtes Xynthia (2010) et Emma (2018) : (Gauche) Comparaison des niveaux marins observés et simulés au marégraphe d'Arcachon Eyrac. (Droite) Comparaison des surfaces submergées observées et simulées : pour Xynthia les levés précis réalisés suite à la tempête sont disponibles et correspondent aux polygones rouges, pour Emma en revanche seuls des levés ponctuels (et incomplets) sont disponibles et sont représentés par des points verts.

La modélisation de la submersion pour les scénarios de l'atlas est réalisée sur un cycle de marée de 12h (de 8h avant la pleine mer à 4h après la pleine mer) en appliquant les conditions de surcote, de vent et de vagues de manière stationnaire sur toute la simulation. Cette approche est motivée par un besoin de simplicité au moment de l'utilisation de l'atlas et par la taille restreinte du modèle (~50 km de large) qui limite les effets d'amplification liés au forçage stationnaire.

Parmi les 450 scénarios décrits précédemment, tous ne sont pas débordant. En effet les points bas du Bassin d'Arcachon se situent aux alentours de 3 m NGF. Aussi, pour chacune des 50 tempêtes fictives, on modélise la submersion de manière séquentielle en partant du niveau de pleine mer le plus élevé vers le plus bas en s'arrêtant au dernier niveau débordant. Sur les 450 scénarios, seuls 185 ont donc fait l'objet de simulations numériques.

2.3 Description de l'atlas

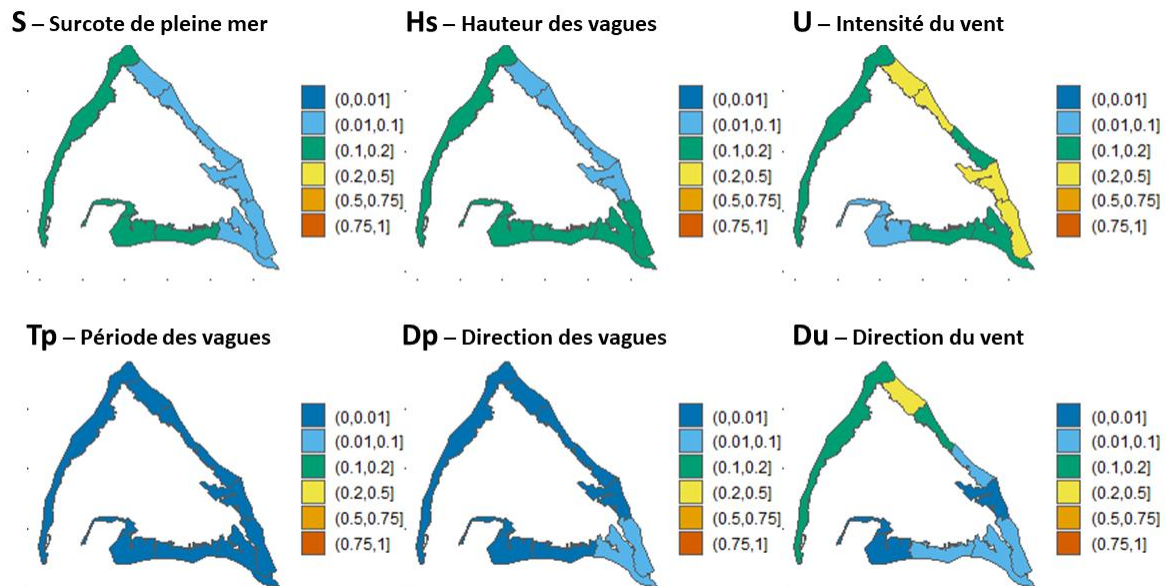
La Figure 3 (gauche) présente les scénarios de l'atlas triés en fonction du niveau marin maximum modélisé à Eyrac qui varie de 2.6 m à 4.2 m NGF. A titre de comparaison, dans les Plans de Prévention des Risques (PPR), le niveau marin de référence à Eyrac est de 3.5 m NGF pour l'évènement fréquent (correspondant à Xynthia) et de 3.7 m NGF pour l'évènement centennal. La base de donnée permet donc de balayer une gamme d'évènements de submersion très large depuis des évènements plutôt annuels (autour de 3 m NGF) jusqu'à des évènements très exceptionnels comme illustré sur la Figure 3 (droite).

	2.6m	2.4m	2.2m	2m	1.8m	1.6m	1.4m	1.2m	1m
T 35	4.2	4.1	3.9	3.7	3.5	3.3	3.1	2.9	2.7
T 03	4.1	3.9	3.7	3.5	3.4	3.2	3.0	2.8	2.6
T 01	4.2	4.1	3.9	3.7	3.5	3.3	3.1	2.9	NS
T 37	4.1	3.9	3.8	3.6	3.4	3.2	3.0	2.8	NS
T 12	4.1	3.9	3.7	3.5	3.4	3.2	3.0	2.8	NS
T 22	4.0	3.9	3.7	3.5	3.3	3.1	2.9	2.7	NS
T 02	3.8	3.7	3.5	3.3	3.1	2.9	2.7	NS	NS
T 04	3.9	3.7	3.5	3.3	3.1	2.9	NS	NS	NS
T 47	3.9	3.7	3.5	3.3	3.2	3.0	NS	NS	NS
T 06	3.6	3.5	3.3	3.1	2.9	2.7	NS	NS	NS
T 46	3.7	3.6	3.4	3.2	3.0	NS	NS	NS	NS
T 20	3.7	3.6	3.4	3.2	3.0	NS	NS	NS	NS
T 29	3.7	3.5	3.4	3.2	3.0	NS	NS	NS	NS
T 16	3.7	3.5	3.3	3.1	3.0	NS	NS	NS	NS
T 26	3.7	3.5	3.3	3.1	2.9	NS	NS	NS	NS
T 08	3.7	3.5	3.3	3.1	NS	NS	NS	NS	NS
T 31	3.6	3.4	3.2	3.0	NS	NS	NS	NS	NS
T 23	3.6	3.4	3.2	3.0	NS	NS	NS	NS	NS
T 09	3.5	3.3	3.1	2.9	NS	NS	NS	NS	NS
T 45	3.5	3.3	3.1	2.9	NS	NS	NS	NS	NS
T 25	3.5	3.3	3.1	2.9	NS	NS	NS	NS	NS
T 13	3.5	3.3	3.1	2.9	NS	NS	NS	NS	NS
T 17	3.4	3.2	3.1	2.9	NS	NS	NS	NS	NS
T 27	3.3	3.2	3.0	2.8	NS	NS	NS	NS	NS
T 33	3.5	3.3	3.1	NS	NS	NS	NS	NS	NS
T 42	3.5	3.3	3.1	NS	NS	NS	NS	NS	NS
T 44	3.4	3.2	3.0	NS	NS	NS	NS	NS	NS
T 49	3.4	3.2	3.0	NS	NS	NS	NS	NS	NS
T 36	3.3	3.2	3.0	NS	NS	NS	NS	NS	NS
T 19	3.2	3.1	2.9	NS	NS	NS	NS	NS	NS



Figure 3 : Illustration de la base de données : (Gauche) Niveau marin (en NGF) maximum modélisé au marégraphe d'Eyrac pour les 30 tempêtes les plus intenses sur la gamme de niveau astronomique à Eyrac considéré. Le terme NS indique les scénarios non simulés. (Droite) Carte des hauteurs d'eau atteintes à terre pour le scénario le plus extrême sur l'ensemble des 10 communes littorales du Bassin d'Arcachon.

Afin de mieux comprendre l'importance de chaque paramètre de tempête et de fournir des éléments pour construire l'algorithme de recherche d'analogues, une analyse de sensibilité est réalisée grâce à un modèle de forêt aléatoire (RF) [12,13]. Cette analyse, présentée sur la Figure 4, met en évidence l'importance prépondérante du vent puis de la surcote de pleine mer et de la hauteur des vagues, en particulier en fond de bassin. En effet, si la surcote de pleine mer à la bouée et les conditions de vague agissent de manière homogène sur tout le bassin, le vent quant à lui contrôle la bascule du plan d'eau à l'intérieur du bassin qui peut générer une surcote supplémentaire sur certaines communes à l'extrême est en fond de bassin.



3. Utilisation de l'atlas

3.1 Modalités de consultation pour le cadre d'astreinte

L'exploitation de l'atlas repose sur la sélection d'un niveau de marée au marégraphe et la recherche d'un analogue de tempête dans la base de données par rapport aux conditions météo-marines prévues par Météo-France et le SHOM à la bouée Cap-Ferret. Cette recherche est réalisée via un algorithme de type look-up table sur les 6 paramètres de tempête au moment de la pleine mer (SPM, Hs, Tp, Dp, U, Du). L'analyse de sensibilité et des tests effectués sur de multiples possibilités ont permis de déterminer la combinaison suivante comme la plus robuste : SPM=1.5, Hs=1, U=1.5, Tp=1, Dp=0.5, Du=1.5.

A partir de l'hiver 2023-2024, le cadre d'astreinte disposera d'une application numérique installable sur un PC et utilisable hors ligne (cf. Figure 5) :

- Un premier onglet de recherche permet de renseigner les prévisions du niveau de marée à Eyrac et des conditions de tempête à la bouée Cap-Ferret (surcote de pleine mer et caractéristiques du vent et des vagues au moment de la pleine mer). Les informations peuvent être saisies de manière manuelle en consultant l'océanogramme de la station Cap-Ferret sur [DATA.SHOM.FR](https://data.shom.fr) ou de manière automatique en chargeant un fichier de prévision produit spécifiquement par Météo-France et contenant les prévisions à 72h pour les 4 modèles utilisés par les prévisionnistes de la VVS (Arpège, IFS, Arome, Arome-IFS). En consultant le bulletin RDI émi pour la vigilance en cours, le cadre d'astreinte pourra sélectionner le modèle préconisé par Météo-France.
- Un second onglet de restitution affiche les 3 scénarios de l'atlas les plus proches du scénario recherché et permet de comparer les cartographies de submersion associées sur les 10 communes. L'extraction du ou des cartographies sélectionnées sous format pdf ou SIG offre la possibilité d'utiliser les données dans d'autres applications dédiées à la gestion de crise ([SYNAPSE](#), etc.).

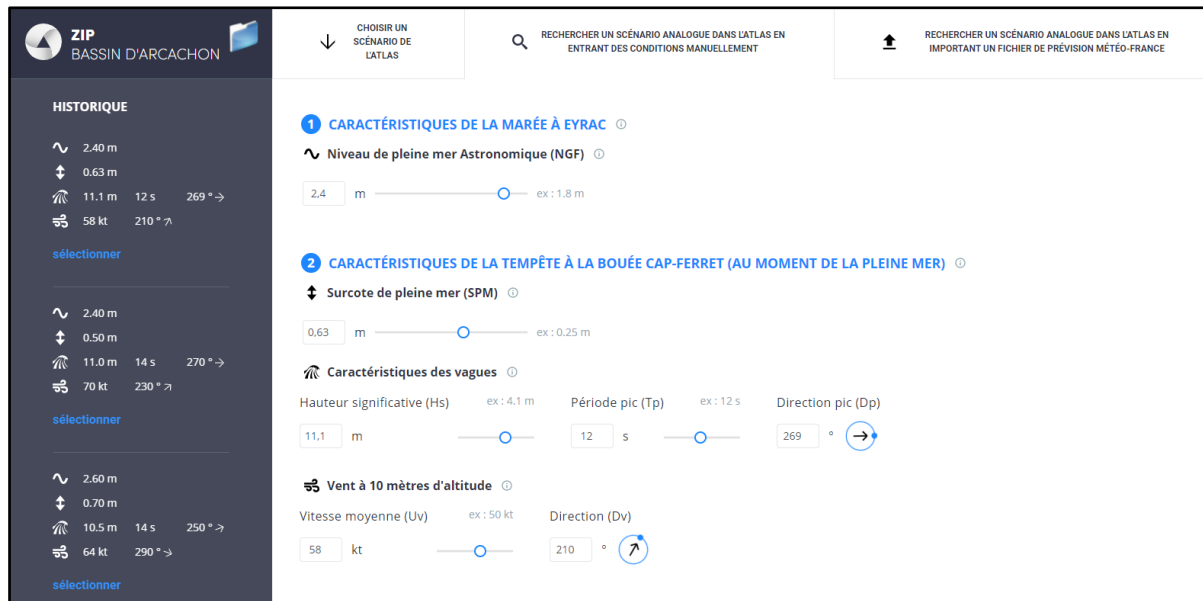


Figure 5 : Visuels préliminaires de l’application numérique : onglet de recherche

3.2 Démonstration de la recherche par analogie

A titre de démonstration, l’exercice de recherche d’analogie est réalisé sur la tempête Xynthia afin de comparer les cartes de submersion obtenues en rejouant l’évènement tel que décrit au paragraphe 2.2 ou en cherchant l’analogie le plus proche dans la base de données grâce à l’algorithme “look-up table”.

La Figure 6 compare les conditions de tempête et les cartes de submersion modélisées pour Xynthia (à la pleine mer débordante du 28/02/2010 à 5 h) avec la “tempête 25” de l’atlas associée à une pleine mer de 2.6 m NGF au marégraphe d’Eyrac. De manière générale les cartes de submersion sont très comparables tant sur l’emprise de la submersion que sur les hauteurs d’eau maximales atteintes à terre. Des différences ponctuelles sont toutefois visibles notamment sur les secteurs plus sensibles à des effets de seuil du niveau marin (par exemple les zones de cuvettes).

Cette démonstration montre l’intérêt d’une approche par analogie entre les scénarios de l’atlas et les conditions prévues quand la base de données dispose comme ici de nombreux scénarios. Même si cette approche ne fournit pas de prévisions précises concernant l’évènement en cours, elle permet de dégager des grandes tendances sur les secteurs les plus affectés et sur une estimation de l’emprise de la submersion à terre. En ce sens, elle fournit des informations très complémentaires à la Vigilance Vagues Submersion et la prévision de dépassement de seuils de niveaux marins dans le bassin.

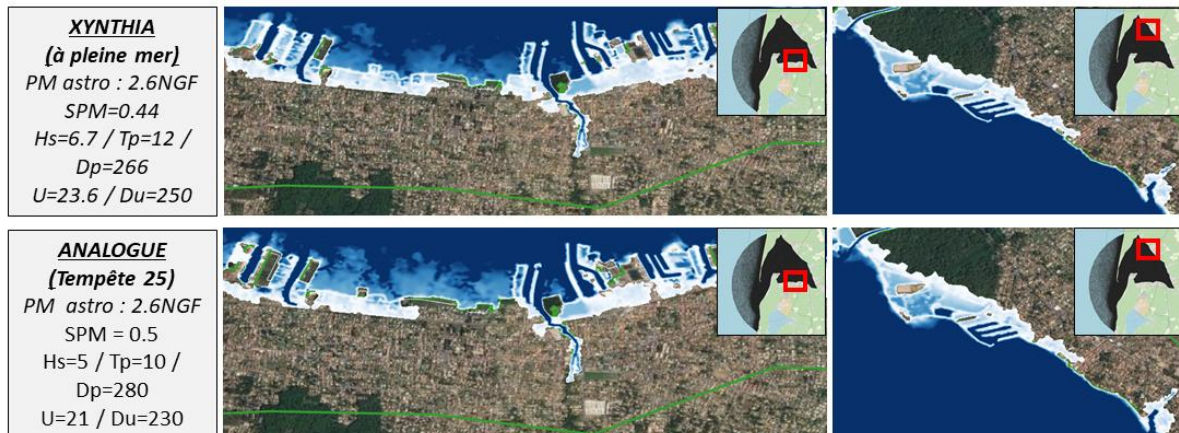


Figure 6 : Comparaison des cartes de submersion de la tempête Xynthia avec son analogue le plus proche dans l’atlas de scénarios (tempête 25) pour un niveau de pleine mer au marégraphe d’Eyrac de 2.6 m NGF.

4. Au delà de l’atlas : quel potentiel d’exploitation de la base de données

L’utilisation de l’atlas pour identifier des scénarios proches des conditions météo-marines prévues constitue un premier niveau d’exploitation de la base de données produite qui comprend des limites et des approximations inhérentes d’une part, à la méthode par analogie et d’autre part, au nombre de scénarios disponibles dans l’atlas. Ce nombre de scénarios est fortement contraint par les ressources de calcul nécessaires pour modéliser la submersion marine qui requiert des modèles à haute résolution.

Au-delà de l’atlas, l’existence de cette base de données offre de nombreuses autres perspectives d’utilisation pour (1) améliorer la compréhension des processus de submersion, du rôle relatif des conditions de forçage et des effets de seuils (2) identifier des niveaux de gravité ou des typologies de submersion permettant de décliner des plans d’action pour la gestion de crise des événements d’intensité modérée à extrême (3) faire de l’apprentissage avec des méthodes de type machine learning pour développer des modèles de prévision très rapides (ou métamodèles) capables de remplacer les modèles numériques pour réaliser des simulations en (quasi)temps réel.

Cette dernière approche permet de passer un cap méthodologique important pour la prévision des submersions et l’estimation des incertitudes. En effet, les avancées récentes, en particulier en matière de calcul haute performance, ont facilité la migration des systèmes de prévision météorologiques vers un mode probabiliste mais leur utilisation, bien que de plus en plus répandue pour le risque d’inondation fluviale, reste encore marginale pour la submersion marine en raison des problématiques de temps de calcul. Dans le cadre du projet ANR [ORACLES](#), la base de scénarios simulés pour l’atlas servira à développer des métamodèles permettant de passer directement des prévisions d’ensemble de tempête à la bouée Cap-Ferret à la cartographie probabiliste des hauteurs de submersion à terre sur l’ensemble du bassin selon différentes approches : (1) la première vise à prédire des classes de sévérité d’inondation à l’aide d’indicateurs comme l’aire inondée ; (2) la deuxième vise à prédire toute la carte des hauteurs d’eau à terre. Ces travaux permettront de caractériser les incertitudes impactant les différentes étapes de la chaîne de traitement (prévision météo ensembliste, choix de modélisation et du type de méta-modèle, etc.) et de définir quelle approche répondra le mieux aux besoins opérationnels des acteurs locaux.

5. Conclusion

La constitution de cet atlas de scénarios de submersion sur le Bassin d’Arcachon pour la mission RDI Gironde offre un outil opérationnel au cadre d’astreinte pour interpréter les prévisions côtières opérationnelles de Météo-France en zones submergées à terre. La méthode appliquée reprend et adapte le principe des Zones d’Inondation Potentielles (ZIP) déjà largement utilisé pour le risque d’inondation fluviale. En décrivant les événements à partir des conditions météo-marines à la bouée Cap-Ferret, l’approche mise en place permet de s’articuler au mieux avec les prévisions océanographiques opérationnelles diffusées par Météo-France et utilisées pour la Vigilance Vagues Submersion (VVS) et les bulletins RDI littoraux. L’utilisation de l’atlas au cours des prochains hivers permettra de tester sa pertinence dans un contexte opérationnel et d’adapter, dans une prochaine version, la quantité de scénarios et la représentation des informations fournies dans l’application numérique de consultation.

6. REMERCIEMENTS

Les auteurs remercient les membres du comité de suivi du projet, notamment Florence Garnier (DDTM Gironde), Florence Besson et Nathalie Bargerie (Météo-France), Hugues Bijoux (SIBA), Olivier Piotte (SPC Gironde), Didier Jourdan et Audrey Pasquet (SHOM).

7. REFERENCES

- [1] Projet MAREA – [Rapport de synthèse Rivages Pro Tech](#) – Décembre 2019
- [2] [Outil Survey 17 \(https://unima.fr/index.php/missions/survey-17\)](https://unima.fr/index.php/missions/survey-17)
- [3] Heffernan, J. E. and Tawn, J. A. (2004) - A conditional approach for multivariate extreme values (with discussion), *J. Roy. Stat. Soc. Ser. B*, 66, 497–546.
- [4] Saha, S., et al. (2010) - The NCEP Climate Forecast System Reanalysis. *Bulletin of American Meteorological Society*, 91, 1015-1057.
- [5] Raoult, C., Joly, A., Andreevsky, M., Joly-Laugel, A. (2018) - ANEMOC-3 : Amélioration de la base de données d'états de mer ANEMOC-2 par prise en compte des effets de la marée. Acte de conférence des 16èmes Journées de l’Hydrodynamique – Marseille, 2018.
- [6] Mugica, J., Bulteau, T., Paris, F., et Pedreros, R. (2014) Caractérisation de l’aléa submersion marine dans le cadre des PPRL du Bassin d’Arcachon, (Gironde). BRGM/RP-61408-FR.
- [7] Camus, P., Mendez, F. J., Medina, R., & Cofiño, A. S. (2011). Analysis of clustering and selection algorithms for the study of multivariate wave climate. *Coastal Engineering*, 58(6), 453-462.
- [8] Tolman, 2014: User manual and system documentation of WAVEWATCH- III version 4.18.
- [9] Filippini, Brye, Perrier, Marche, Ricchiuto (2018). UHAINA : A parallel high performance unstructured near-shore wave model. Journées Nationales Génie Côtier - Génie Civil, May 2018, La Rochelle, France. pp.47-56.
- [10] Mugica J., Delvallée E., Pedreros R. (2010) - Application de modèles numériques pour l’estimation de l’altitude du plan d’eau à Andernos-les-Bains. BRGM/RP-58723-FR. 92 p., 64 fig., 14 tab.
- [11] Idier, D., Aurouet, A., Bachoc, F., Baills, A., Betancourt, J., Gamboa, F., Klein, T., López-Lopera, A.F., Pedreros, R., Rohmer, J., and Thibault, A.: A User-Oriented Local Coastal Flooding Early Warning System Using Metamodelling Techniques, *J. Mar. Sci. Eng.*, 9(11):1191.
- [12] Breiman 2001 : Random Forests. *Machine Learning*, 45, 5–32, 2001
- [13] Gregorutti B., Michel B., Saint-Pierre P., 2015 - Grouped variable importance with random forests and application to multiple functional data analysis. *Computational Statistics & Data Analysis* Volume 90, October 2015, Pages 15-35.